

**Zeitschrift:** Eclogae Geologicae Helvetiae  
**Herausgeber:** Schweizerische Geologische Gesellschaft  
**Band:** 59 (1966)  
**Heft:** 1

**Artikel:** Die Foraminiferen der Unterkreide von Trinidad, W.I. Zweiter Teil, Maridale-Formation (Typlokalität)  
**Autor:** [s.n.]  
**Anhang:** Tafeln  
**DOI:** <https://doi.org/10.5169/seals-163363>

### **Nutzungsbedingungen**

Die ETH-Bibliothek ist die Anbieterin der digitalisierten Zeitschriften. Sie besitzt keine Urheberrechte an den Zeitschriften und ist nicht verantwortlich für deren Inhalte. Die Rechte liegen in der Regel bei den Herausgebern beziehungsweise den externen Rechteinhabern. [Siehe Rechtliche Hinweise.](#)

### **Conditions d'utilisation**

L'ETH Library est le fournisseur des revues numérisées. Elle ne détient aucun droit d'auteur sur les revues et n'est pas responsable de leur contenu. En règle générale, les droits sont détenus par les éditeurs ou les détenteurs de droits externes. [Voir Informations légales.](#)

### **Terms of use**

The ETH Library is the provider of the digitised journals. It does not own any copyrights to the journals and is not responsible for their content. The rights usually lie with the publishers or the external rights holders. [See Legal notice.](#)

**Download PDF:** 16.03.2025

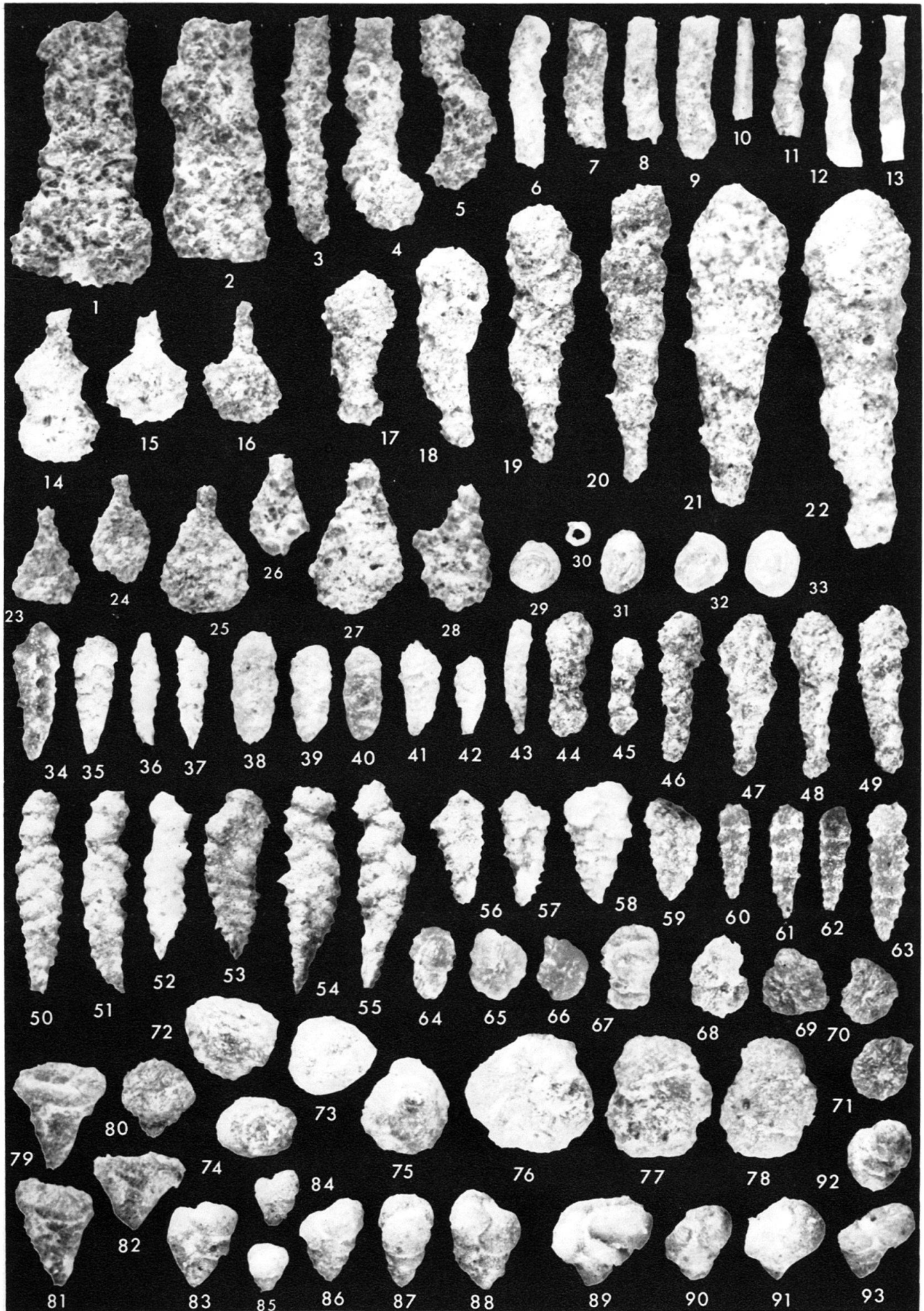
**ETH-Bibliothek Zürich, E-Periodica, <https://www.e-periodica.ch>**

## Tafel I

### Sandschalige Foraminiferen aus der Maridale-Formation von Trinidad

Sämtliche Figuren: Vergrößerung 20:1

Fig. 1–2. <i>Ammobaculites goodlandensis</i> CUSHMAN & ALEXANDER 1930. Bruchstücke des gestreckten Gehäuseteils. – Länge: 2,13 mm (Fig. 1). – C 24537/1–2	139
Fig. 3–5. <i>Ammobaculites subcretaceus</i> CUSHMAN & ALEXANDER 1930. Länge: 1,78 mm (Fig. 3). – C 24538/1–3	139
Fig. 6–13. <i>Hyperammina gaultina</i> DAM 1950. 6–9: Rauhe, grobkieselige Gehäuse. – Länge: 1,23 mm (Fig. 6). 10–13: Glattwandige, feinkieselige Gehäuse. – Länge: 1,18 mm (Fig. 13). – C 24539/1–8	137
Fig. 14–16. <i>Reophax pilulifer</i> H. B. BRADY 1884. Länge: 1,25 mm (Fig. 14). – C 24540/1–3	137
Fig. 17–22, 44–49. <i>Ammobaculites torosus</i> LOEBLICH & TAPPAN 1949. Längen: 1,0 mm (Fig. 44, kleinste Form); 1,30 mm (Fig. 47, etwas grössere Form); 1,60 mm (Fig. 18, noch grössere Form); 2,03 mm (Fig. 19, zweitgrösste Form); 2,83 mm (Fig. 22, grösste Form) – C 24541/1–12	139
Fig. 23–28. <i>Reophax guttifer</i> H. B. BRADY 1884. 23–25: Stark plattgedrückte, mittelkörnige Gehäuse. – Länge: 0,80 mm (Fig. 23) 26–28: Weniger plattgedrückte, kräftige und grobkörnige Gehäuse. – Länge: 1,25 mm (Fig. 27). – C 24627/1–6	137
Fig. 29. <i>Ammodiscus gaultinus</i> BERTHELIN 1880. Durchmesser: 0,45 mm. – C 24542	140
Fig. 30. <i>Spirillina minima</i> SCHACKO 1892. Durchmesser: 0,23 mm. – C 24543	161
Fig. 31–33. <i>Glomospira gordialis</i> (JONES & PARKER 1860). Durchmesser 0,53 mm (Fig. 31). – C 24544/1–3	140
Fig. 34–37, 50–55. <i>Gaudryina reicheli</i> n. sp. 54: Holotypus. Länge: 1,68 mm. – C 24545. 34–37, 50–53, 55: Paratypoiden. Länge: 1,13 mm (Fig. 34). – C 24546/1–9	142
Fig. 38–40. <i>Gaudryinella sherlocki</i> BETTENSTAEDT 1952. Länge: 0,90 mm (Fig. 38). – C 24547/1–3	141
Fig. 41–42. <i>Textularia</i> ? sp. Länge: 0,75 mm (Fig. 41). – C 24548/1–2	140
Fig. 43. <i>Dorothia filiformis</i> (BERTHELIN 1880). Länge: 0,93 mm. – C 24549	144
Fig. 44–49. Siehe Erklärungen bei Fig. 17–22.	
Fig. 50–55. Siehe Erklärungen bei Fig. 34–37.	
Fig. 56–57. <i>Gaudryina dividens</i> GRABERT 1959. Länge: 0,90 mm (Fig. 56). – C 24550/1–2	141
Fig. 58–59. <i>Marssonella oxycona</i> (REUSS 1860). Länge: 1,0 mm (Fig. 58). – C 24551/1–2	144
Fig. 60–63. <i>Bigenerina</i> cf. <i>clavellata</i> LOEBLICH & TAPPAN 1946. Länge: 1,13 mm (Fig. 63). – C 24552/1–4	141
Fig. 64–71, 76–78. <i>Haplophragmoides concavus</i> (CHAPMAN 1892). 64–67: Kleine Gehäuse mit kieselig-amorphen Wandungen. – Durchmesser: 0,60 mm (Fig. 64). – C 24553/1–4. 68–71: Kleine Gehäuse mit feinkörnigen Wandungen. – Durchmesser: 0,68 mm (Fig. 68). – C 24553/5–8. 76–78: Grosswüchsige, fein- bis mittelkörnige, bisweilen auch grobkörnige Gehäuse. – Durchmesser: 1,05 mm (Fig. 76). – C 24553/9–11	138
Fig. 72–75. <i>Valvulina fusca</i> (WILLIAMSON 1858). Durchmesser: 0,80 mm (Fig. 72). – C 24554/1–4	145
Fig. 76–78. Siehe Erklärungen bei Fig. 64–71.	
Fig. 79–82. <i>Marssonella subtrochus</i> BARTENSTEIN 1962. Länge: 0,88 mm (Fig. 79). – C 24555/1–4	144
Fig. 83–93. <i>Dorothia</i> cf. <i>conula</i> (REUSS 1845). Länge: 0,70 mm (Fig. 83); 0,75 mm (Fig. 89). – C 24556/1–11	144

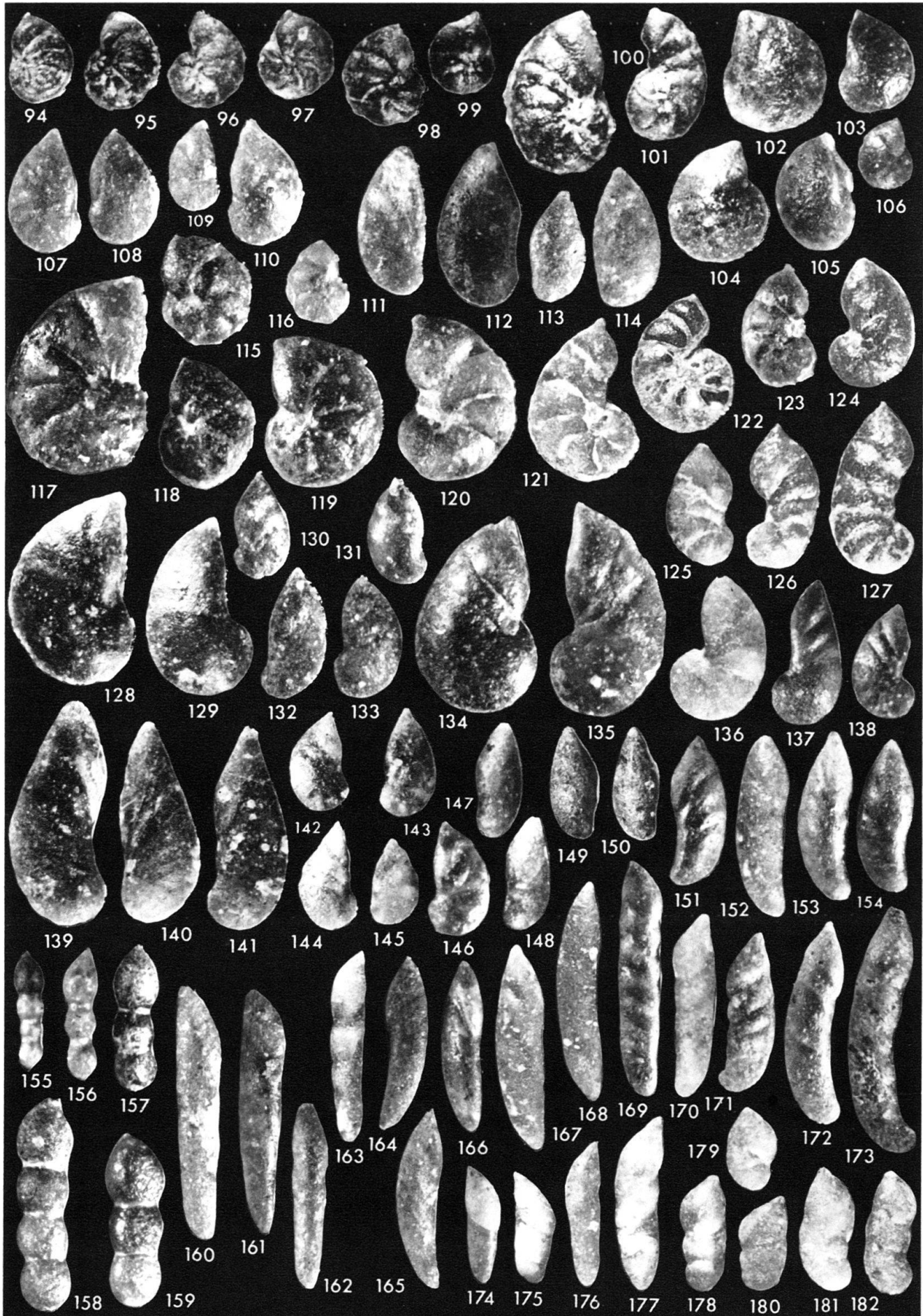


## Tafel II

### Kalkschalige Foraminiferen der Familie Lagenidae aus der Maridale-Formation von Trinidad

Sämtliche Figuren: Vergrößerung 20:1

Fig. 94. <i>Lenticulina</i> ( <i>L.</i> ) cf. <i>schreiteri</i> (EICHENBERG 1935). Grösster Durchmesser: 0,73 mm. – C 24557 . . . . .	145
Fig. 95–99. <i>Lenticulina</i> ( <i>L.</i> ) <i>saxocretacea</i> BARTENSTEIN 1954. Grösster Durchmesser: 0,78 mm (Fig. 95). – C 24558/1–5 . . . . .	146
Fig. 100–101. <i>Lenticulina</i> ( <i>L.</i> ) <i>guttata</i> (DAM 1946). Länge: 1,28 mm (Fig. 100). – C 24559/1–2 . . . . .	146
Fig. 102–106. <i>Lenticulina</i> ( <i>L.</i> ) <i>acuta</i> (REUSS 1860). Grösster Durchmesser: 1,03 mm (Fig. 102). – C 24560/1–5 . . . . .	146
Fig. 107–110. <i>Lenticulina</i> ( <i>L.</i> ) <i>pulchella</i> (REUSS 1863). Länge: 1,0 mm (Fig. 107). – C 24561/1–4 . . . . .	147
Fig. 111–114. <i>Lenticulina</i> ( <i>L.</i> ) <i>strombecki</i> (REUSS 1863). Länge: 1,30 mm (Fig. 112). – C 24562/1–4 . . . . .	147
Fig. 115–119. <i>Lenticulina</i> ( <i>L.</i> ) <i>turgidula</i> (REUSS 1863). Länge: 0,90 mm (Fig. 115); 1,63 mm (Fig. 117). – C 24563/1–5 . . . . .	147
Fig. 120–124. <i>Lenticulina</i> ( <i>A.</i> ) sp. (n. sp.) Länge: 1,33 mm (Fig. 120); 1,08 mm (Fig. 122). – C 24564/1–5 . . . . .	148
Fig. 125–127. <i>Lenticulina</i> ( <i>M.</i> ) <i>lituola</i> (REUSS 1846). Länge: 1,35 mm (Fig. 127). – C 24565/1–3 . . . . .	150
Fig. 128–129. <i>Lenticulina</i> ( <i>L.</i> ) <i>subgaultina</i> BARTENSTEIN 1962. Länge: 1,58 mm (Fig. 128). – C 24566/1–2 . . . . .	147
Fig. 130–133. <i>Lenticulina</i> ( <i>A.</i> ) <i>grata</i> (REUSS 1863). Länge: 1,15 mm (Fig. 132). – C 24567/1–4 . . . . .	148
Fig. 134–135. <i>Lenticulina</i> ( <i>L.</i> ) cf. <i>acuta</i> (REUSS 1860). Länge: 1,68 mm (Fig. 135). – C 24568/1–2 . . . . .	147
Fig. 136–138. <i>Lenticulina</i> ( <i>V.</i> ) <i>excentrica</i> (CORNUEL 1848). Länge: 1,13 mm (Fig. 136). – C 24569/1–3 . . . . .	149
Fig. 139–141. <i>Lenticulina</i> ( <i>V.</i> ) <i>harpa</i> (REUSS 1860). Länge: 1,78 mm (Fig. 139). – C 24570/1–3 . . . . .	150
Fig. 142–146. <i>Lenticulina</i> ( <i>A.</i> ) <i>planiuscula</i> (REUSS 1863). Länge: 0,90 mm (Fig. 146). – C 24571/1–5 . . . . .	148
Fig. 147–150. <i>Lenticulina</i> ( <i>A.</i> ) <i>scitula</i> (BERTHELIN 1880). Länge: 0,95 mm (Fig. 150). – C 24572/1–4 . . . . .	149
Fig. 151–154, 169–173. <i>Lenticulina</i> ( <i>A.</i> ) <i>calliopsis</i> (REUSS 1863). Länge: 1,18 mm (Fig. 151); 1,85 mm (Fig. 169); 1,93 mm (Fig. 173). – C 24573/1–9.	149
Fig. 155–159. <i>Dentalina soluta</i> REUSS 1851. (siehe auch Taf. 3 Fig. 183–186). Länge: 0,93 mm (Fig. 155); 1,68 mm (Fig. 158). – C 24574/1–5 . . . . .	152
Fig. 160–163 <i>Marginulina linearis</i> REUSS 1863 (siehe auch Taf. 3 Fig. 210). Länge: 2,0 mm (Fig. 160); 1,50 mm (Fig. 163). – C 24575/1–4 . . . . .	151
Fig. 164–168. <i>Lenticulina</i> ( <i>V.</i> ) <i>incurvata</i> (REUSS 1863). Länge: 1,35 mm (Fig. 164); 1,58 mm (Fig. 168). – C 24576/1–5 . . . . .	150
Fig. 169–173. Siehe Erklärungen bei Fig. 151–154.	
Fig. 174–177. <i>Dentalina nana</i> REUSS 1863. Länge: 0,93 mm (Fig. 174); 1,38 mm (Fig. 177). – C 24577/1–4 . . . . .	152
Fig. 178–182. <i>Lenticulina</i> ( <i>M.</i> ) <i>cephalotes</i> (REUSS 1863). Länge: 0,98 mm (Fig. 182). – C 24578/1–5 . . . . .	150

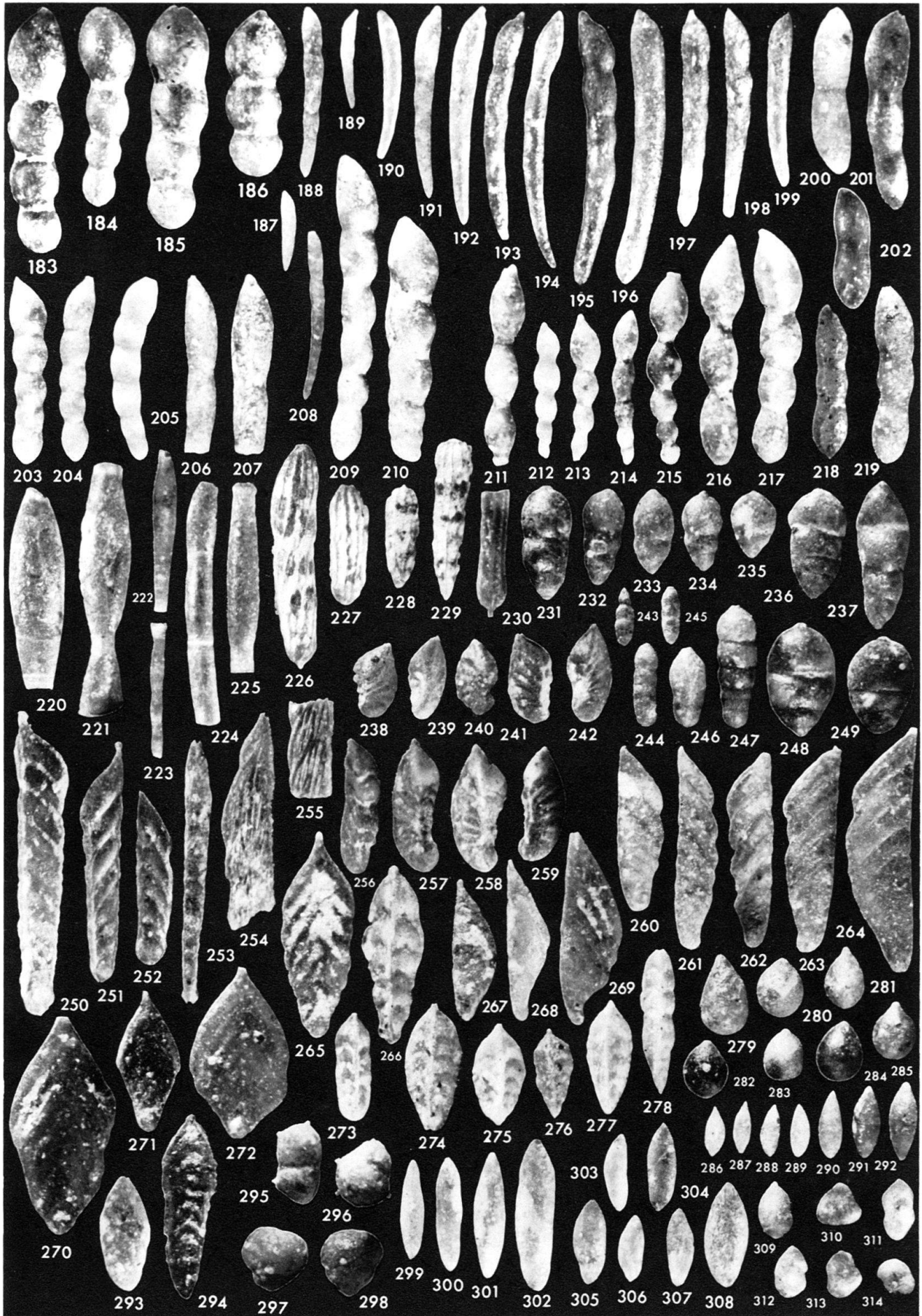


### Tafel III

## Kalkschalige Foraminiferen der Familien Lagenidae (Fig. 183–285, 293) und Polymorphinidae (Fig. 286–292, 294–314) aus der Maridale-Formation von Trinidad

Sämtliche Figuren: Vergrößerung 20:1

Seite	Seite
<p>Fig. 183–186. <i>Dentalina soluta</i> REUSS 1851. (siehe auch Taf. 2 Fig. 155–159). Länge: 1,93 mm (Fig. 183). – C 24579/1–4 . . . . . 152</p> <p>Fig. 187–194, 208. <i>Dentalina gracilis</i> ORBIGNY 1839. Länge: 2,05 mm (Fig. 194). – C 24580/1–9 153</p> <p>Fig. 195–199. <i>Dentalina communis</i> ORBIGNY 1826. Länge: 2,15 mm (Fig. 195). – C 24581/1–5 153</p> <p>Fig. 200–202, 218–219. <i>Dentalina cylindroides</i> REUSS 1860. Länge: 1,58 mm (Fig. 201). – C 24582/1–5 . . . . . 153</p> <p>Fig. 203–204, 209, 217. <i>Dentalina distincta</i> REUSS 1860. Länge: 1,43 mm (Fig. 203); 2,35 mm (Fig. 209). – C 24583/1–4 . . . . . 153</p> <p>Fig. 205. <i>Dentalina linearis</i> (ROEMER 1841). Länge: 1,40 mm. – C 24584 . . . . . 153</p> <p>Fig. 206–207. <i>Dentalina cf. deflexa</i> REUSS 1863. Länge: 1,40 mm (Fig. 206). – C 24585/1–2 . . . . . 153</p> <p>Fig. 208. Siehe Erklärungen bei Fig. 187–194.</p> <p>Fig. 209. Siehe Erklärungen bei Fig. 203–204.</p> <p>Fig. 210. <i>Marginulina linearis</i> REUSS 1863. (siehe auch Taf. 2 Fig. 160–163). Länge: 1,88 mm. – C 24586 . . . . . 151</p> <p>Fig. 211–216. <i>Dentalina guttifera</i> ORBIGNY 1846. Länge: 0,86 mm (Fig. 216). – C 24587/1–6. 154</p> <p>Fig. 217. Siehe Erklärungen bei Fig. 203–204.</p> <p>Fig. 218–219. Siehe Erklärungen bei Fig. 200–202.</p> <p>Fig. 220–225. <i>Nodosaria</i> ? sp. Länge: 1,63 mm (Fig. 220); 2,0 mm (Fig. 221). – C 24588/1–6 . 152</p> <p>Fig. 226. <i>Dentalina cf. porcatulata</i> LOEBLICH &amp; TAPPAN 1951. Länge: 1,75 mm. – C 24589. 154</p> <p>Fig. 227–229. <i>Marginulina pyramidalis</i> (KOCH 1851). Länge: 1,25 mm (Fig. 229). – C 24590/1–3 151</p> <p>Fig. 230. <i>Nodosaria orthopleura</i> REUSS 1863. Länge: 1,0 mm. – C 24591 . . . . . 152</p> <p>Fig. 231–235. <i>Rectoglandulina mutabilis</i> (REUSS 1863). Länge: 0,93 mm (Fig. 231). – C 24592/1–5 . . . . . 154</p> <p>Fig. 236–237, 248–249. <i>Rectoglandulina cf. mutabilis</i> (REUSS 1863). Länge: 1,18 mm (Fig. 237). – C 24593/1–4 . . . . . 154</p> <p>Fig. 238–242, 256–259. <i>Lenticulina (S.) spinosa</i> (EICHENBERG 1935). Länge: 0,60 mm (Fig. 238); 1,13 mm (Fig. 256). – C 24594/1–9 151</p> <p>Fig. 243–245. <i>Lingulina loryi</i> (BERTHELIN 1880). Länge: 0,68 mm (Fig. 244). – C 24595/1–3 155</p>	<p>Fig. 246–247. <i>Rectoglandulina humilis</i> (ROEMER 1841). Länge: 0,97 mm (Fig. 247). – C 24596/1–2 . . . . . 155</p> <p>Fig. 248–249. Siehe Erklärungen bei Fig. 236–237.</p> <p>Fig. 250–253. <i>Vaginulina recta</i> REUSS 1863. Länge: 2,38 mm (Fig. 250). – C 24597/1–4 . . . 155</p> <p>Fig. 254–255. <i>Vaginulina</i> sp. – Bruchstücke. Länge: 1,70 mm (Fig. 254). – C 24598/1–2 . . . 155</p> <p>Fig. 256–259. Siehe Erklärungen bei Fig. 238–242.</p> <p>Fig. 260–264. <i>Vaginulina cf. recta tenuistriata</i> CHAPMAN 1894. Länge: 1,30 mm (Fig. 260); 1,88 mm (Fig. 264). – C 24599/1–5 . . . . . 156</p> <p>Fig. 265. Siehe Erklärungen bei Fig. 270–272.</p> <p>Fig. 266. Siehe Erklärungen bei Fig. 273–278.</p> <p>Fig. 267–269. <i>Vaginulina geinitzi</i> REUSS 1874. Länge: 1,50 mm (Fig. 269). – C 24600/1–3 . . . 156</p> <p>Fig. 270–272, 265. <i>Fronicularia gaultina</i> REUSS 1860. Länge: 1,72 mm (Fig. 270). – C 24601/1–4 156</p> <p>Fig. 273–278, 266. <i>Tristix acutangula</i> (REUSS 1863). Länge: 1,38 mm (Fig. 266); 1,0 mm (Fig. 274). – C 24602/1–7 . . . . . 157</p> <p>Fig. 279–285. <i>Lagena laevis</i> (MONTAGU 1803). Länge: 0,64 mm (Fig. 279); 0,50 mm (Fig. 280). – C 24603/1–7 . . . . . 157</p> <p>Fig. 286–292, 308. <i>Globulina prisca</i> REUSS 1863. Länge: 0,63 mm (Fig. 292); 0,85 mm (Fig. 308). – 24604/1–8 . . . . . 158</p> <p>Fig. 293. <i>Falsopalmula</i> sp. Länge: 0,90 mm. – C 24605. . . . . 157</p> <p>Fig. 294. <i>Quadratina maertensi</i> (REUSS 1863). Länge: 1,45 mm. – C 24606 . . . . . 157</p> <p>Fig. 295–296. <i>Ramulina laevis</i> JONES 1875. Länge: 0,65 mm (Fig. 295). – C 24607/1–2 . . . 159</p> <p>Fig. 297–298. Genus et Species incertae sedis. Höhe: 0,55 mm (Fig. 297). – C 24608/1–2. . . 159</p> <p>Fig. 299–302. <i>Pyrulina cylindroides</i> (ROEMER 1838). Länge: 0,78 mm (Fig. 299); 1,23 mm (Fig. 302). – C 24609/1–4 . . . . . 158</p> <p>Fig. 303–307. <i>Pyrulina exserta</i> (BERTHELIN 1880). Länge: 0,70 mm (Fig. 304). – C 24610/1–5. 158</p> <p>Fig. 308. Siehe Erklärung bei Fig. 286–292.</p> <p>Fig. 309–314. <i>Falsoguttulina vandenboldi</i> (BARTENSTEIN, BETTENSTAEDT &amp; BOLLI 1957). Länge: 0,48 mm (Fig. 309); 0,35 mm (Fig. 310). – C 24611/1–6. . . . . 158</p>



## Tafel IV

### Kalkschalige Foraminiferen verschiedener Familien (Tafel IV, obere Hälfte, Fig. 315–402) und Ostrakoden (Tafel IV, untere Hälfte, a–d) aus der Maridale-Formation von Trinidad

Tafel IV (= obere Hälfte) Vergrößerung 20:1

- Fig. 315–339. *Ramulina aculeata* WRIGHT 1886 . . . . . 159  
315: Form a. Höhe: 0,60 mm. – C 24612.  
316–324: Form b. Länge: 1,33 mm (Fig. 316). – C 23613/1–9.  
325–329: Form c. Länge: 1,08 mm (Fig. 325). – C 24614/1–5.  
331–335: Form d. Länge: 1,03 mm (Fig. 335). – C 24615/1–5.  
330, 336: Form e. Länge: 2,25 mm (Fig. 336). – C 24616/1–2.  
337–339: Form f. Länge: 1,90 mm (Fig. 338). – C 24617/1–3.
- Fig. 340–353. *Gavelinella intermedia* (BERTHELIN 1880).  
Grösster Durchmesser: 0,57 mm (Fig. 340); 0,38 mm (Fig. 347). – C 24618/1–14 . . . 161
- Fig. 354–355. *Valvulineria gracillima* DAM 1947.  
Grösster Durchmesser: 0,28 mm (Fig. 354). – C 24619/1–2 . . . . . 161
- Fig. 356. *Planomalina* sp. Mündungsansicht.  
Höhe: 0,28 mm. – C 24620 . . . . . 163
- Fig. 357–359. *Conorotalites aptiensis* (BETTENSTAEDT 1952).  
Grösster Durchmesser: 0,38 mm (Fig. 357). – C 24621/1–3 . . . . . 162
- Fig. 360–370. *Hedbergella delrioensis* (CARSEY 1926).  
Grösster Durchmesser: 0,31 mm (Fig. 360). – C 24622/1–11 . . . . . 164
- Fig. 371–380. *Planomalina muridalensis* BOLLI 1959.  
Grösster Durchmesser: 0,38 mm (Fig. 371). – C 24623/1–10 . . . . . 163
- Fig. 381–383. *Schackoia pustulans* BOLLI 1957.  
Grösster Durchmesser: 0,23 mm (Fig. 381). – C 24624/1–3 . . . . . 163
- Fig. 384–385, 398–402. *Planomalina saundersi* BOLLI 1959.  
Grösster Durchmesser: 0,38 mm (Fig. 398). – C 24625/1–7 . . . . . 163
- Fig. 386–397. *Biglobigerinella barri* BOLLI, LOEBLICH & TAPPAN 1957.  
Grösster Durchmesser: 0,58 mm (Fig. 386). – C 24626/1–12 . . . . . 164
- Fig. 398–402. Siehe Erklärungen bei Fig. 384–385.

Tafel IV (= untere Hälfte) Vergrößerung 26:1

Ostrakoden-Assoziation mit folgenden wichtigsten Gattungen und Arten:

- a. *Pontocyprella* aff. *gracilis* (ALEXANDER 1929) als dominierende Art. – F 431
- b. *Bairdia* sp. (n. sp.). – F 432
- c. *Cytherella* sp. (n. sp.). – F 433
- d. *Cytherura* ? sp. (n. sp.). – F 434

Probenpunkt: Bo 68 a–f.



